



MOBI-TELEKOM
Obsługa Inwestycji Telekomunikacyjnych

MOBI-TELEKOM Adam Macioch LABORATORIUM BADAWCZE
Al. Niepodległości 799A, 81-810 Sopot
Tel. +48 58 765 13 13, e-mail: biuro@mobi-telekom.pl



AB 1198

SPRAWOZDANIE Z POMIARÓW PÓL ELEKTROMAGNETYCZNYCH WYKONANYCH DLA CELÓW OCHRONY ŚRODOWISKA

LBMT/009/07/23/PEM/OS

OBIEKT	Instalacja radiokomunikacyjna
NR / NAZWA STACJI	BT44893 BYDGOSZCZ DRZYCIMSKA
ADRES STACJI	ul. Drzycimska 7, Bydgoszcz
GMINA	m. Bydgoszcz
POWIAT	m. Bydgoszcz
WOJEWÓDZTWO	kujawsko-pomorskie

Sporządzający sprawozdanie	
Autoryzacja	

Data pomiarów: 06-07-2023

SPIS TREŚCI

1. Informacje ogólne
2. Parametry źródeł PEM
 - 2.1. Anteny sektorowe
 - 2.2. Anteny radioliniowe
3. Opis zestawu pomiarowego
 - 3.1. Miernik natężenia pola elektromagnetycznego
 - 3.2. Miernik temperatury i wilgotności względnej powietrza
 - 3.3. Dalmierz laserowy
 - 3.4. Wyznaczanie współrzędnych geograficznych
4. Podstawa prawna
5. Metodyka wykonywania pomiarów
6. Wyniki pomiarów
7. Stwierdzenie zgodności z wymaganiami

1. INFORMACJE OGÓLNE

Prowadzący Instalację	Towerlink Poland Sp. z o.o., 01-211 Warszawa, ul. Marcina Kasprzaka 4
Zleceniodawca	ATEM Polska, ul. Łużycka 2, 81-537 Gdynia
Przedstawiciel zleceniodawcy	[REDAKOWANE]
Miejsce instalacji anten	Dzwonnica kościoła
Miejsce instalacji urządzeń	Urządzenia typu outdoor wewnątrz wieży kościoła
Nazwiska osób wykonujących pomiary	[REDAKOWANE] pracownik techniczny
Poinformowanie o pomiarach	Zgodnie z pkt. 14 rozporządzenia Ministra Klimatu (Dz. U. 2022 poz. 2630).
Data i godzina wykonania pomiarów	06-07-2023,10:00-12:30
Temperatura otoczenia [°C]	19 - 22,8
Wilgotność względna [%]	35 - 34,4
Opady atmosferyczne	Brak opadów
Parametry badanego obiektu	Identyfikacja źródeł i parametrów technicznych na podstawie dokumentacji technicznej oraz na podstawie obserwacji i informacji udzielonych przez Zleceniodawcę
Inne źródła pól elektromagnetycznych	Stwierdzono występowanie źródeł pól elektromagnetycznych, pochodzących od operatorów T- Mobile, Play, które w zakresie badanych częstotliwości mogą bezpośrednio wpływać na wynik wartości mierzonej
Data opracowania	07-07-2023

2. PARAMETRY ŹRÓDEŁ PEM

Konfiguracja anten sektorowych oraz radioliniowych została przekazana przez zleceniodawcę.

2.1. Anteny sektorowe

Charakterystyka promieniowania			kierunkowa					
Rzeczywisty czas pracy [h/dobę]			24					
Warunki pracy			znamionowe					
Lp.	Częstotliwość lub zakresy częstotliwości pracy	Typ/producent anteny	Liczba anten	Azymut	Średni kąt pochylenia	Zakres kątów pochylenia	Wysokość środka elektr. anteny	EIRP
-	[MHz]	-	-	[°]	[°]	[°]	[m n.p.t.]	[W]
1	1800/2100/2600/900	AQU4518R14V07/ Huawei	1	0	7/7/7/7	2-12/2-12/ 2-12/0-14	17,5	21313
2	1800/2100/2600/900	AQU4518R14V07/ Huawei	1	140	7/7/7/7	2-12/2-12/ 2-12/0-14	17,5	21210
3	1800/2100/2600/900	AQU4518R14V07/ Huawei	1	250	6,6/6,6/ 6,6/6,6	1,6-11,6/ 1,6-11,6/ 1,6-11,6/ -0,4-13,6	17,5	21210

2.2. Anteny radioliniowe

Charakterystyka promieniowania			kierunkowa					
Rzeczywisty czas pracy [h/dobę]			24					
Warunki pracy			znamionowe					
Lp.	Typ / producent anteny	Wysokość środka elektr. anteny	Azymut	Częstotliwość pracy	Moc wyjściowa nadajnika	Zysk energetyczny	Średnica	EIRP
		[m n.p.t.]	[°]	[GHz]	[dBm]	[dBi]	[m]	[W]
1	ANT3 B 0.3 80 HP/ Ericsson	14,8	232	80	16	44,6	0,3	1148,15

3. OPIS ZESTAWU POMIAROWEGO

3.1. Miernik natężenia pola elektromagnetycznego

Uniwersalny szerokopasmowy miernik natężenia pola elektromagnetycznego produkcji Narda Safety Test Solution typu NBM-550, nr seryjny E-0333 z sondą pomiarową pola elektrycznego typu EF9091 nr seryjny A-0107 pracującą w paśmie 80MHz – 90GHz. Dolna granica akredytowanego zakresu pomiarowego wynosi 0,8 V/m. Świadectwo wzorcowania Nr LWIMP/W/218/22 z dnia 15 lipca 2022 r. wydane przez Laboratorium Wzorców i Metrologii Pola Elektromagnetycznego Politechniki Wrocławskiej.

3.2. Miernik temperatury i wilgotności względnej powietrza

Termohigrometr firmy AZ Instrument Corp. typu AZ 8703 o numerze seryjnym 9967025. Świadectwo wzorcowania nr 1710/AH/20 wydane dnia 10 sierpnia 2020 r. Przez Laboratorium Pomiarowe 'MUTECH'

3.3. Dalmierz laserowy

Dalmierz laserowy produkcji firmy Hilti, typ PD-32 o numerze seryjnym 14307386. Nr Świadectwa wzorcowania 2448/AM/20. Data wzorcowania 18.08.2020 r.

3.4. Wyznaczanie współrzędnych geograficznych

Współrzędne geograficzne pionów pomiarowych wyznaczone są za pomocą własnej aplikacji mobilnej.

4. PODSTAWA PRAWNA

Rozporządzenie Ministra Zdrowia z dnia 17 grudnia 2019 r. w sprawie dopuszczalnych poziomów pól elektromagnetycznych w środowisku (Dz. U. 2019 poz. 2448).

Rozporządzenie Ministra Klimatu z dnia 17 lutego 2020 r. w sprawie sposobów sprawdzania dotrzymania dopuszczalnych poziomów pól elektromagnetycznych w środowisku (Dz. U. 2022 poz. 2630).

Ustawa z dnia z dnia 27 kwietnia 2001 r. Prawo ochrony środowiska (Dz.U. 2022 poz. 2556).

Dokument DAB-18 "Akredytacja laboratoriów badawczych wykonujących pomiary pola elektromagnetycznego w środowisku, Wydanie 2 z dnia 25.06.2021 r.

5. METODYKA WYKONYWANIA POMIARÓW

Załącznik do rozporządzenia Ministra Klimatu z dnia 17 lutego 2020 r. w sprawie sposobów sprawdzania dotrzymania dopuszczalnych poziomów pól elektromagnetycznych w środowisku (Dz. U. 2022 poz. 2630).

6. WYNIKI POMIARÓW

Niepewność rozszerzona pomiaru składowej elektrycznej wynosi 50,2% przy poziomie ufności 95% i współczynniku rozszerzenia $k=2$.

W przypadku gdy wynik pomiaru uzyskany jako wartość wskazana przez miernik pola elektromagnetycznego jest wartością poniżej dolnej granicy akredytowanego zakresu pomiarowego, stosowane jest oznaczenie „pdg*”. W takim przypadku jest to wynik spoza zakresu akredytacji i do obliczenia wyników WME i WMH przyjmuje się wartość skorelowaną z rzeczywistym wynikiem pomiaru jako dolną granicę akredytowanego zakresu pomiarowego.

Tabela nr 1. Zestawienie wyników pomiarów

Nr pionu	Opis pionu pomiarowego ¹	Wartość zmierzona	Wysokość pomiarowa	Wartość obliczona	Wartość końcowa	Wartość końcowa	Wartość wskaźnikowa	Wartość wskaźnikowa	Współrzędne geograficzne
		E ²	[m]	H	E ^{3,5}	H ^{4,5}	WME ⁶	WMH ⁶	
		[V/m]	[m]	[A/m]	[V/m]	[A/m]	-	-	
1	2	3	4	5	7	8	9	10	11
1	GKP – az. 140°	1,5	2	0,004	2,3	0,006	0,08	0,08	53° 10'15,9"N 17° 58'5,2"E
2	GKP, wzdłuż linii prostej łączącej urządzenia nadawcze z najbliższą zabudową	1,9	2	0,005	2,9	0,008	0,10	0,10	53° 10'15,1"N 17° 58'5,0"E
3	GKP – az. 140°	1,6	2	0,004	2,4	0,006	0,09	0,09	53° 10'15,1"N 17° 58'6,3"E
4	GKP – az. 140°	2,2	2	0,006	3,3	0,009	0,12	0,12	53° 10'14,4"N 17° 58'7,2"E
5	GKP – az. 0°	1,2	2	0,003	1,8	0,005	0,06	0,07	53° 10'17,4"N 17° 58'5,0"E
6	DPP – ul. Drzycimska 10, lp. taras	2,4	2	0,006	3,6	0,010	0,13	0,13	-
7	DPP – ul. Drzycimska 10, w oknie lp. na przeciwko BTS	4	2	0,011	6,0	0,016	0,21	0,22	-
8	GKP, wzdłuż linii prostej łączącej urządzenia nadawcze z najbliższą zabudową	0,8	2	0,002	1,2	0,003	0,04	0,04	53° 10'17,6"N 17° 58'2,4"E
9	GKP, wzdłuż linii prostej łączącej urządzenia nadawcze z najbliższą zabudową	0,8	2	0,002	1,2	0,003	0,04	0,04	53° 10'20,0"N 17° 58'3,7"E
10	GKP – az. 0°	1,4	2	0,004	2,1	0,006	0,08	0,08	53° 10'20,0"N 17° 58'5,0"E
11	GKP, wzdłuż linii prostej łączącej urządzenia nadawcze z najbliższą zabudową	1,4	2	0,004	2,1	0,006	0,08	0,08	53° 10'20,8"N 17° 57'59,3"E
12	GKP, wzdłuż linii prostej łączącej urządzenia nadawcze z najbliższą zabudową	1,3	2	0,003	2,0	0,005	0,07	0,07	53° 10'22,5"N 17° 58'3,0"E
13	GKP – az. 0°	pdg*	0,3-2	0,002	1,2	0,003	0,04	0,04	53° 10'22,8"N 17° 58'4,9"E
14	GKP, wzdłuż linii prostej łączącej urządzenia nadawcze z najbliższą zabudową	2,3	2	0,006	3,5	0,009	0,12	0,13	53° 10'16,1"N 17° 58'1,0"E
15	GKP – az. 250°	2,6	2	0,007	3,9	0,010	0,14	0,14	53° 10'15,0"N 17° 58'0,2"E
16	DPP – ul. Przechowska 20, 1p balkon	3,9	2	0,010	5,9	0,016	0,21	0,21	-
17	GKP, wzdłuż linii prostej łączącej urządzenia nadawcze z najbliższą zabudową	2,2	2	0,006	3,3	0,009	0,12	0,12	53° 10'13,7"N 17° 57'58,7"E
18	GKP – az. 250°	pdg*	0,3-2	0,002	1,2	0,003	0,04	0,04	53° 10'13,4"N 17° 57'53,4"E
19	GKP, wzdłuż linii prostej łączącej urządzenia nadawcze z najbliższą zabudową	1,2	2	0,003	1,8	0,005	0,06	0,07	53° 10'12,7"N 17° 57'57,7"E

Nr pionu	Opis pionu pomiarowego ¹	Wartość zmierzona E ²	Wysokość pomiarowa	Wartość obliczona H	Wartość końcowa E ^{3,5}	Wartość końcowa H ^{4,5}	Wartość wskaźnikowa WME ⁶	Wartość wskaźnikowa WMH ⁶	Współrzędne geograficzne
		[V/m]	[m]	[A/m]	[V/m]	[A/m]	-	-	
1	2	3	4	5	7	8	9	10	11
20	GKP, wzdłuż linii prostej łączącej urządzenia nadawcze z najbliższą zabudową	2,1	2	0,006	3,2	0,008	0,11	0,11	53° 10'14,1"N 17° 57'58,9"E
21	DPP – ul. Niewieścinska 21. 1p taras	3	2	0,008	4,5	0,012	0,16	0,16	-
22	GKP – az. 232°	1,9	2	0,005	2,9	0,008	0,10	0,10	53° 10'15,2"N 17° 58'3,2"E
23	GKP – az. 232°	2,4	2	0,006	3,6	0,010	0,13	0,13	53° 10'14,7"N 17° 58'2,4"E
24	GKP, wzdłuż linii prostej łączącej urządzenia nadawcze z najbliższą zabudową	2,4	2	0,006	3,6	0,010	0,13	0,13	53° 10'13,2"N 17° 58'8,7"E
25	GKP – az. 140°	1	2	0,003	1,5	0,004	0,05	0,05	53° 10'12,2"N 17° 58'10,3"E
26	GKP – az. 140°	pdg*	0,3-2	0,002	1,2	0,003	0,04	0,04	53° 10'10,2"N 17° 58'13,1"E
27	GKP – az. 140°	pdg*	0,3-2	0,002	1,2	0,003	0,04	0,04	53° 10'11,3"N 17° 58'11,6"E
28	GKP, wzdłuż linii prostej łączącej urządzenia nadawcze z najbliższą zabudową	2,9	2	0,008	4,4	0,012	0,16	0,16	53° 10'12,3"N 17° 58'3,8"E
29	GKP, wzdłuż linii prostej łączącej urządzenia nadawcze z najbliższą zabudową	pdg*	0,3-2	0,002	1,2	0,003	0,04	0,04	53° 10'16,5"N 17° 58'8,2"E
30	GKP, wzdłuż linii prostej łączącej urządzenia nadawcze z najbliższą zabudową	0,9	2	0,002	1,4	0,004	0,05	0,05	53° 10'16,4"N 17° 58'7,6"E
31	DPP – ul. Drzycimska 1/3, okno na poddaszu, p. I	1,6	2	0,004	2,4	0,006	0,09	0,09	-

pdg* - poniżej dolnej granicy akredytowanego zakresu pomiarowego wynoszącej 0,8 V/m (<0,8 V/m) - wynik spoza zakresu akredytacji

1 oznaczenia: GKP - główny kierunek pomiarowy, PKP - pomocniczy kierunek pomiarowy, DPP - dodatkowy pion pomiarowy

2 maksymalna wartość chwilowa

3 wartość natężenia pola elektrycznego powiększona o niepewność pomiaru

4 wartość natężenia pola magnetycznego powiększona o niepewność pomiaru

5 dla wyników poniżej czułości zestawu pomiarowego przyjęto niepewność dla minimalnej wartości z zakresu pomiarowego

6 na podstawie rozpoznania źródeł oraz w uzgodnieniu ze Zleceniodawcą, do wyznaczenia wartości wskaźnikowej WME i WMH przyjęto wartości dopuszczalne pola elektrycznego i magnetycznego wynoszące odpowiednio 28 V/m oraz 0,073 A/m

7. STwierdzenie zgodności z wymaganiami

Rozporządzenie Ministra Zdrowia z dnia 17 grudnia 2019 r. (Dz. U. 2019 poz. 2448) określa zróżnicowane dopuszczalne poziomy pól elektromagnetycznych dla miejsc dostępnych dla ludności. Zgodnie z ww. rozporządzeniem, na podstawie rozpoznania źródeł pól e-m oraz w oparciu o wytyczne zleceńodawcy, dla rozpatrywanej instalacji przyjęto wartości dopuszczalne składowej elektrycznej i magnetycznej wynoszące odpowiednio 28 V/m oraz 0,073 A/m. Za wynik pomiaru przyjęto przyjęto maksymalną wartość chwilową zgodnie z pkt 11 załącznika do rozporządzenia Ministra Klimatu z dnia 17 lutego 2020 r. (Dz. U. 2022 poz. 2630).

Na podstawie przeprowadzonych pomiarów w dniu 06-07-2023r. stwierdzono, że w otoczeniu instalacji radiokomunikacyjnej, w miejscach wykonania pomiarów nie występują przekroczenia dopuszczalnych poziomów pól elektromagnetycznych określonych w ww. przepisach. Zgodnie z pkt 25 ppkt 1 oraz pkt 26 załącznika do rozporządzenia Ministra Klimatu z dnia 17 lutego 2020 r. (Dz. U. 2022 poz. 2630) żadna z wartości wskaźnikowych WME i WMH nie przekracza wartości 1.

Załączniki:

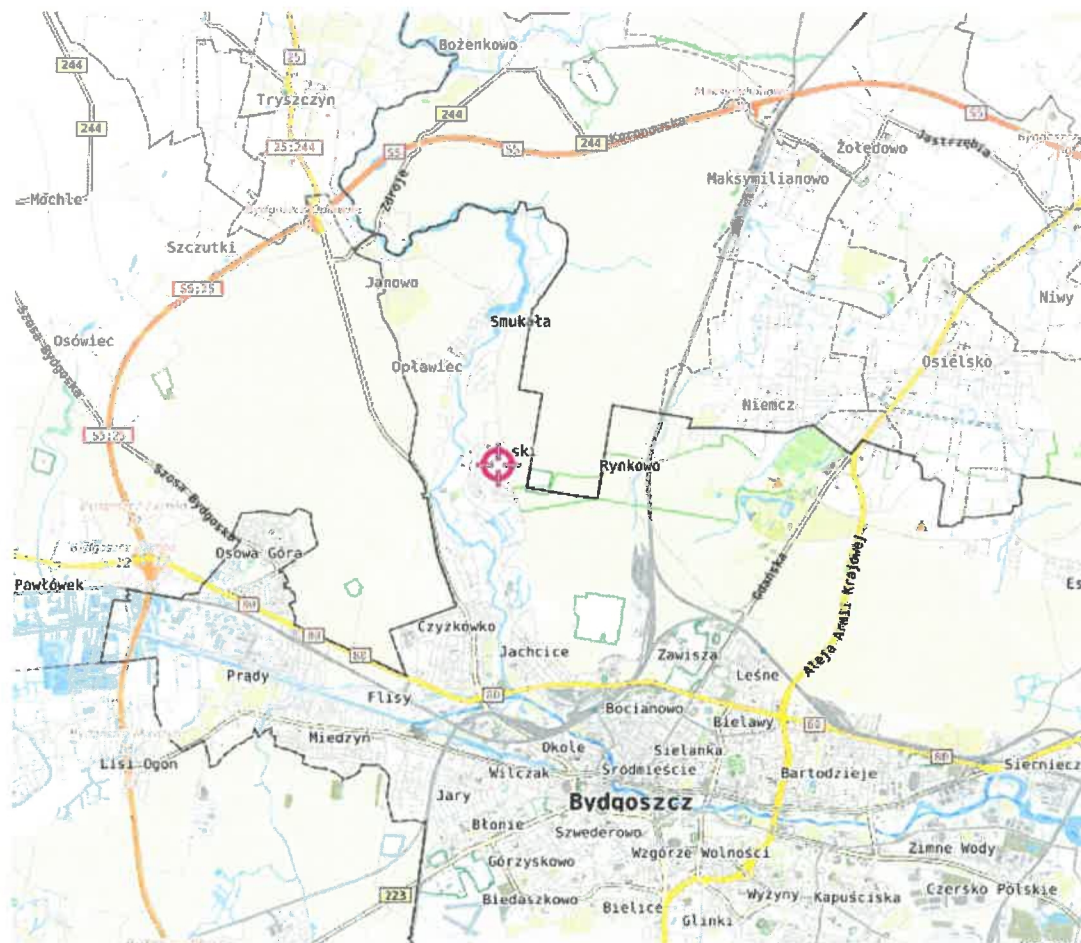
1. Lokalizacja obiektu
2. Dokumentacja fotograficzna
3. Rys. 1

KONIEC SPRAWOZDANIA

Bez pisemnej zgody sprawozdanie nie może być powielane inaczej, jak tylko w całości.

W ciągu 14 dni od daty otrzymania sprawozdania przyjmowane są uwagi i zastrzeżenia w formie pisemnej na adres Laboratorium Badawczego.

ZAŁĄCZNIK 1: LOKALIZACJA OBIEKTU



Współrzędne geograficzne obiektu	
długość :	17°58'05,0"E
szerokość :	53°10'16,0"N

MOBI-TELEKOM Adam Macioch LABORATORIUM BADAWCZE

Al. Niepodległości 799A, 81-810 Sopot

Przedstawione wyniki dotyczą wyłącznie badanego obiektu w przedstawionej konfiguracji.

Sprawozdanie stanowi integralną całość, nie może być powielane inaczej, jak w całości.

ZAŁĄCZNIK 2: DOKUMENTACJA FOTOGRAFICZNA



Rys.1 Lokalizacja pionów pomiarowych

